

УДК 551. 524. 31 + 551. 556.12

МОДЕЛИРОВАНИЕ ИЗМЕНЕНИЯ ТЕМПЕРАТУРЫ ВОЗДУХА И АТМОСФЕРНЫХ ОСАДКОВ С ВЫСОТОЙ МЕСТНОСТИ

Канд. геогр. наук В.В. Голубцов

Рассматриваются вопросы моделирования изменения температуры воздуха и атмосферных осадков с высотой местности. Приводятся математические выражения и оценка их параметров для рассматриваемых метеорологических элементов в бассейнах рек Западного Алтая и Заилийского Алатау. Предлагаемые модели могут быть использованы для расчета температуры воздуха и атмосферных осадков по суточным интервалам времени.

Для описания процесса формирования снегозапасов и поступления воды на его поверхность горного бассейна необходимо располагать сведениями о температуре воздуха, а также жидких и твердых атмосферных осадках в пределах его отдельных высотных зон. Как известно, в горных бассейнах определение значений указанных метеорологических элементов производится в сравнительно немногочисленных пунктах наблюдений. В этих условиях при определении суточных значений температуры воздуха и осадков используются расчетные методы.

Температура воздуха.

Изменение температуры воздуха с высотой местности в первом приближении можно принять линейным [3, 9]. Тогда для ее определения в пределах отдельных зон горных бассейнов можно использовать следующее общепринятое интерполяционно - экстраполяционное выражение [2, 3]:

$$\bar{\theta}(z,t) = \bar{\theta}(z_0,t) + \gamma_2(z - z_0), \quad (1)$$

где $\bar{\theta}(z,t)$ и $\bar{\theta}(z_0,t)$ - среднесуточная температура воздуха в момент времени t соответственно на высоте z и z_0 , $^{\circ}\text{C}$; γ_2 - вертикальный температурный градиент, $^{\circ}\text{C}/\text{км}$.

Однако, в горных условиях в осенне-зимний и весенний периоды часто наблюдаются инверсии, обуславливающие нелинейный характер изменения температуры воздуха с высотой местности [14, 15, 16]. Поэтому

му в общем случае для описания этого процесса более предпочтительно использование нелинейного интерполяционно - экстраполяционного квадратичного уравнения следующего вида [2, 3]:

$$\bar{\theta}(z, t) = \bar{\theta}(z_0, t) + \gamma_2(z - z_0) + \gamma_3(z - z_0)^2, \quad (2)$$

где γ_2 и γ_3 - параметры. Выражение (1) является частным случаем уравнения (2) при $\gamma_3 = 0$. На основании исследований Л.Н. Боровиковой и Ю.М. Денисова [3] можно установить следующие зависимости для определения параметров γ_2 и γ_3 :

$$\begin{aligned} \gamma_2 &= 2az_0 + b \\ \gamma_3 &= c, \end{aligned} \quad (3)$$

где a и b параметры зависимости средних месячных температур воздуха от высоты местности, определяемые с помощью метода наименьших квадратов [3]:

$$\bar{\theta}(z) = az^2 + bz + c. \quad (4)$$

Зависимость, характеризующая изменение параметра γ_2 в течение года по суточным интервалам времени при определенном выборе начала отсчета может быть аппроксимирована в виде косинусоиды [2, 3, 9]:

$$\gamma_2 = \bar{\gamma}_2 + v \nu \cos \frac{2\pi}{T} (t - t_0), \quad (5)$$

где $\bar{\gamma}_2$ - средний вертикальный градиент, $^{\circ}\text{C}/\text{км}$; v - полуамплитуда его изменения в течение года, $^{\circ}\text{C}/\text{км}$; t - время, отсчитываемое от выбранного начала, сутки; $T = 365$ суток; t_0 - параметр, характеризующий сдвиг фаз, сутки. Выражение (5) также используется и для аппроксимации зависимостей, характеризующих внутригодовое изменение параметра γ_3 . В ряде случаев годовой ход параметров γ_2 и γ_3 хорошо аппроксимируется полиномом Чебышева второй степени [21]:

$$\gamma_j = a_\gamma x_j^2 + b_\gamma x_j + c_\gamma, \quad (6)$$

где a_γ , b_γ и c_γ - коэффициенты:

$$x_j = \left(\frac{l_j}{30,42} + 1 \right); \quad l_j = 1 \dots 365. \quad (7)$$

Если для определения изменения температуры воздуха используется *n* метеорологических станций или постов, расположенных в горном

бассейне или за его пределами, с высотами $z_{0(i)}$, то величина $\bar{\theta}(z_0, t)$ определяется с помощью следующих выражений [2, 3]:

$$\bar{\theta}(z_0, t) = \frac{1}{n} \sum_{i=1}^n [\theta(z_{0(i)}, t) - \gamma_2(z_0 - z_{0(i)})] \quad (8)$$

или

$$\bar{\theta}(z_0, t) = \frac{1}{n} \sum_{i=1}^n [\bar{\theta}(z_{0(i)}, t) - \gamma_2(z_0 - z_{0(i)}) - \gamma_3(z_0 - z_{0(i)})^2], \quad (9)$$

где $z_{0(i)}$ - высота i -го пункта метеорологических наблюдений.

При использовании выражения (1) можно определить высоту z_a , на которой имеет определенное значение $\bar{\theta}_a$ [3]:

$$z_a = \frac{\bar{\theta}(z_0, t) - \bar{\theta}_a}{\gamma_2} + z_0. \quad (10)$$

При $\bar{\theta}_a = 0$, значение z_a характеризует высоту нулевой изотермы.

Расчет изменения средней суточной температуры воздуха в пределах ледниковой части бассейна несколько отличается от изложенного выше. Это отличие связано с необходимостью описания изменения температуры воздуха при переходе с неледниковой на ледниковую поверхность. Как показали исследования П.А. Черкасова и Т. Ермекбаева [23], в ледниковой области вследствие того, что температура поверхности ледника не превышает 0 °C, в приледниковом слое воздуха образуется устойчивый инверсионный слой, который препятствует его прогреванию. В результате при переходе с неледниковой на ледниковую поверхность наблюдается резкое уменьшение температуры воздуха (температурный скачок) и изменение вертикального температурного градиента.

С учетом изложенного расчет средней суточной температуры воздуха на высоте нижней границы ледника производится следующим образом:

$$\bar{\theta}^*(z_0, t) = \bar{\theta}(z_0, t) + \Delta\bar{\theta}, \quad (11)$$

где $\bar{\theta}^*(z_0, t)$, $\bar{\theta}(z_0, t) + \Delta\bar{\theta}$ - средняя суточная температура воздуха соответственно на ледниковой и неледниковой поверхностях на высоте нижней границы ледника z_0 в момент времени t , °C; z_0 - высота нижней границы ледника, км; $\Delta\bar{\theta}$ - величины температурного скачка при переходе с неледниковой на ледниковую поверхность, °C. Температура воздуха на неледниковой поверхности $\bar{\theta}^*(z_0, t)$ определяется с помощью выражения (4) или (2). Для расчета среднесуточной температуры воздуха в пределах от-

дельных высотных зон ледниковой части бассейна можно использовать следующее выражение:

$$\bar{\theta}^*(z^*, t) = \bar{\theta}(z_0^*, t) + \gamma_z(z^* - z_0^*), \quad (12)$$

где $\bar{\theta}^*(z^*, t)$ - средняя суточная температура воздуха на высоте z^* в момент времени t , °C; z^* - высота местности в пределах ледниковой части бассейна, км; γ_z - вертикальный температурный градиент в пределах ледниковой части бассейна, °C/км.

В работе [23] приведены значения $\Delta\bar{\theta}$ и γ_z при различной общей облачности для северного склона Джунгарского Алатау. Так, при полном отсутствии облачности (0 баллов) $\Delta\bar{\theta} = -0,1$ °C и $\gamma_z = 9,8$ °C /км, а при 10 баллах общей облачности $\Delta\bar{\theta} = -2,1$ °C и $\gamma_z = 1,4$ °C /км. В связи с тем, что значения общей облачности изменяются в течение абляционного периода, для определения вертикального температурного градиента γ_z можно использовать зависимость его величины от времени, как это рекомендовано выше. В ряде случаев его можно принять постоянным. Так для северного склона Джунгарского Алатау, где значения общей облачности составляют в среднем 5 - 6 баллов, можно принять $\Delta\bar{\theta} = -0,45$ °C и $\gamma_z = 3$ °C /км.

Как отмечалось выше, изменение температуры воздуха с высотой местности в холодный период года является существенно нелинейным в связи с формированием инверсий. Зимой в низкогорных зонах температура воздуха не убывает, а возрастает с высотой местности [14, 15, 16]. Такое изменение температуры наблюдается до высот 1000 - 1500 м. В среднегорной и высокогорной зонах температура воздуха обычно изменяется с высотой местности по линейному закону. Поэтому при моделировании процессов формирования стока в указанных зонах можно ограничиться рассмотрением изменения температуры воздуха на высотах более 1500 м. Использование линейного закона изменения температуры воздуха с высотой местности позволяет более надежно рассчитать ее величину для высокогорных зон речных бассейнов, где наблюдения, как правило, отсутствуют.

На рис. 1 приведены зависимости средней месячной многолетней температуры воздуха от высоты местности для центральной части северного склона Заилийского Алатау по метеорологическим станциям Каменское плато (1350 м), селестоковая станция (1712 м), Усть-Горельник (1943 м), Верхний Горельник (2272 м) и Мынжилки (3017 м).

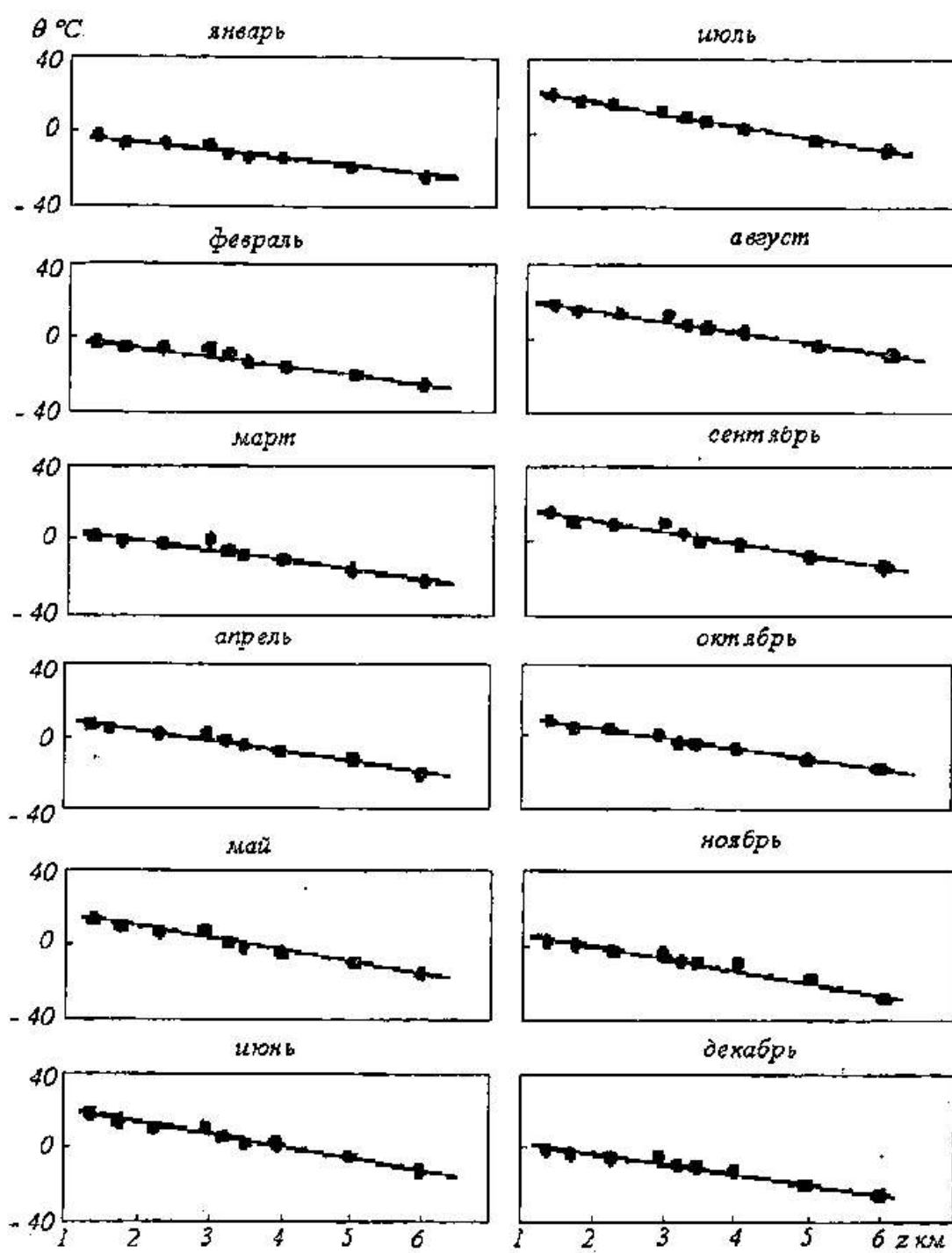


Рис. 1. Зависимость средних многолетних значений температуры воздуха за отдельные месяцы от высоты местности для горных бассейнов Центральной части северного склона Заилийского Алатау.

Сведения о величине температуры воздуха по указанным станциям приведены в Справочнике по климату СССР [18]. Кроме этого для построения указанных зависимостей были использованы приведенные к норме данные наблюдений за температурой воздуха Сектора географии АН Казахской ССР в пункте Тюксу I (3450 м), а также сведения о ее вели-

чине на высотах 4000 м, 5000 м и 6000 м, полученных в результате зондирования свободной атмосферы на метеорологической станции Алматы [1].

Годовой ход рассчитанных значений градиента изменения средних многолетних месячных температур воздуха с высотой местности γ_2 (рис.2) был аппроксимирован выражением следующего вида:

$$\gamma_2 = 5,9 + 0,5 \cos \frac{2\pi}{365} (t - 210). \quad (13)$$

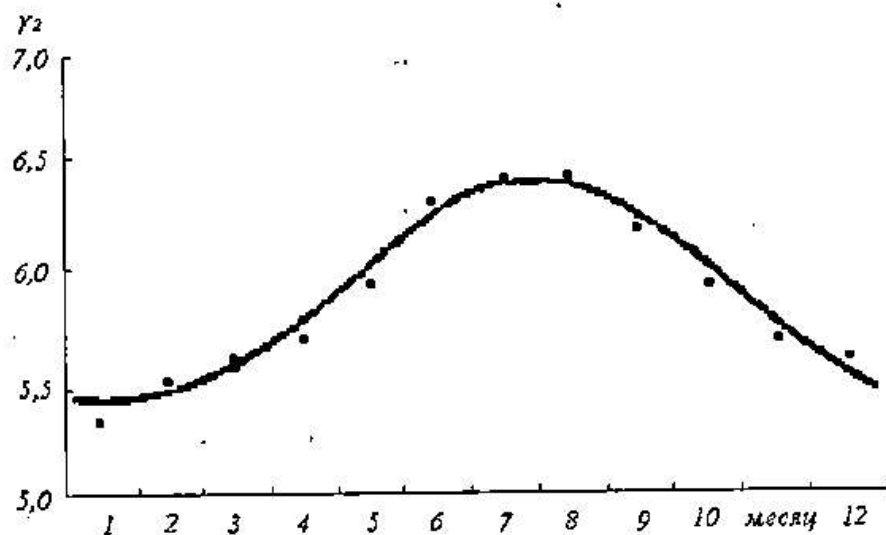


Рис. 2. Внутригодовое изменение вертикального температурного градиента γ_2 в горных бассейнах центральной части северного склона Заилийского Алатау.

Полученные результаты показывают, что внутригодовое изменение градиента γ_2 характеризуется зимним минимумом (январь) и летним максимумом (июль-август). Такое внутригодовое распределение градиента γ_2 обусловлено пониженной изменчивостью (меньшей амплитудой колебаний) средних многолетних месячных температур воздуха в высокогорной зоне по сравнению с низкогорной зоной речных бассейнов. Выражение (5) позволяет осуществить моделирование температуры воздуха в горных районах по суточным интервалам времени.

Атмосферные осадки.

Для расчета количества осадков, выпадающих в пределах отдельных зон горного бассейна можно использовать интерполяционное уравнение, предложенное Л.Н. Боровиковой и Ю.М. Денисовым [2, 3]:

$$x(z,t) = x(z_0,t) \left[1 + k_2(z - z_0) + k_3(z - z_0)^2 \right], \quad (14)$$

где $x(z,t)$, $x(z_0,t)$ - количество осадков, выпадающих за сутки в момент времени t соответственно на высоте z и z_0 , мм; k_2 и k_3 - параметры.

Для оценки параметров k_2 и k_3 в соответствии с указанными выше исследованиями могут быть использованы следующие выражения:

$$k_2 = \frac{2az_0 + b}{az_0^2 + bz_0 + c}, \quad (15)$$

$$k_3 = \frac{a}{az_0^2 + bz_0 + c}, \quad (16)$$

где a , b и c - параметры зависимости средних месячных осадков от высоты местности, определяемые с помощью метода наименьших квадратов [3]:

$$x(z) = az^2 + bz + c. \quad (17)$$

Для аппроксимации зависимости изменения параметров k_2 и k_3 в течение года по суточным интервалам времени использовались косинусоида и упомянутые выше полиномы Чебышева второй степени.

При моделировании процессов формирования стока необходимо располагать способами определения фазового состава выпадающих осадков (снег или дождь). Для разделения рассчитанных осадков по фазовому состоянию в пределах отдельных высот зон может быть использован способ, предложенный Г.Е. Глазыриным [5]. Этот способ основан на определении для каждой высотной зоны критических значений температуры воздуха $\bar{\theta}_1$ и $\bar{\theta}_2$. При среднесуточной температуре воздуха $\bar{\theta} \geq \bar{\theta}_2$, рассчитанные осадки рассматриваются как жидкие, а при $\bar{\theta} \leq \bar{\theta}_1$ - как твердые. В интервале $\bar{\theta}_1 < \bar{\theta} < \bar{\theta}_2$, рассчитанные осадки считаются смешанными, причем вероятность выпадения осадков различного фазового состава в этом интервале изменяется линейно. Тогда количество жидких x_{sc} и твердых x_m осадков может быть определено с помощью следующих выражений:

$$x_{sc} = \begin{cases} x & \text{при } \bar{\theta} \geq \bar{\theta}_2 \\ x = \frac{\bar{\theta} - \bar{\theta}_1}{\bar{\theta}_2 - \bar{\theta}_1} & \text{при } \bar{\theta}_1 < \bar{\theta} < \bar{\theta}_2 \\ 0 & \text{при } \bar{\theta} \leq \bar{\theta}_1 \end{cases} \quad (18)$$

$$x_m = x - x_{sc} \quad (19)$$

где x - общее количество осадков, мм.

Исследования Ю.М. Денисова показали, что вместо (18) может быть рекомендован более простой способ определения количества жидких осадков [9]:

$$x_{жк} = \begin{cases} x & \text{при } \bar{\theta} > \bar{\theta}_o \\ 0 & \text{при } \bar{\theta} \leq \bar{\theta}_o \end{cases}, \quad (20)$$

где $\bar{\theta}_o = \frac{1}{2} (\bar{\theta}_1 + \bar{\theta}_2)$ - температура при которой выпадение осадков различного фазового состава является равновероятным.

Для описания изменения $\bar{\theta}_o$ с высотой местности Г.Е. Глазыриным использована квадратичная функция [5]. В более поздней его работе параметры этой функции были уточнены [6]. В отдельных бассейнах Средней Азии параметр $\bar{\theta}_o$ может быть принят постоянным и равным 2°C [2, 3].

Как показали исследования Г.Е. Глазырина, критическое значение $\bar{\theta}_1$ практически не изменяется с высотой местности и может быть принято постоянным. Значение $\bar{\theta}_2$ увеличивается с высотой местности [5]. Выполненные по методике Г.Е. Глазырина расчеты фазового состава осадков в пределах ледниковой зоны Джунгарского Алатау показали вполне удовлетворительные результаты [22].

Используя сведения о фазовом составе осадков и температуре воздуха, полученные на метеорологических станциях Алтая и Средней Азии, опубликованные в работах [5, 12], параметр $\bar{\theta}_1$ для рассматриваемого района принят постоянным и равным $-1,5^{\circ}\text{C}$. Параметр $\bar{\theta}_2$ принят изменяющимся в зависимости от высоты местности. Его величина может быть определена с помощью следующего выражения:

$$\bar{\theta}_2 = \bar{\theta}_{min} + \frac{\bar{\theta}_{max} - \bar{\theta}_{min}}{\exp(a^* + b^* z) + 1}, \quad (21)$$

где $\bar{\theta}_{min} = 3^{\circ}\text{C}$ - температура, к которой стремится $\bar{\theta}_2$ при $z \leq 0$, км; $\bar{\theta}_{max} = 13,5^{\circ}\text{C}$ - температура, к которой стремится $\bar{\theta}_2$ при $z \rightarrow \infty$; $a^* = 2,59$ и $b^* = -0,74$ - эмпирические параметры.

Многочисленные эксперименты показывают [8, 10, 11, 13, 15, 20, 24] и др., что измеренные величины осадков, как правило, ниже их фактических значений. Это занижение, как показали исследования ГГО, ГГИ, КазНИГМИ и других организаций, в основном обусловлено ветровым

недоучетом осадков, испарением воды из осадкомерного ведра, а также потерями влаги на его смачивание [19]. Поправки к срочным значениям осадков могут быть определены по методике, разработанной ГГО и КазНИГМИ и опубликованной в работе А.П. Браславского и С.П. Чистяевой [4]. Непосредственное использование этой методики при моделировании поступления осадков на поверхность бассейна в настоящее время представляется нецелесообразным. Это привело бы к неоправданному усложнению расчетной схемы. Поэтому при решении указанной задачи были использованы зависимости исправленных величин суточных осадков от их измеренных значений, установленные для отдельных метеорологических станций и постов. При этом исправленные суточные величины осадков определялись как сумма их срочных значений, рассчитанных с помощью указанной выше методики.

Аналитическое выражение для расчета исправленных суточных величин жидких осадков имеет следующий вид:

$$x_{жc} = x_{жcизи} + \frac{m_{жc}}{x_{жcизи}^n}, \quad (22)$$

где $x_{жcизи} \geq 0,1$ мм - измеренная суточная величина жидких осадков, мм; $m_{жc}$ и n - параметры.

Выражение для расчета исправленных величин твердых осадков можно записать в следующем виде:

$$x_m = m_m - x_{mизи} \quad (23)$$

где $x_{mизи} \geq 0,1$ мм - измеренная суточная величина твердых осадков, мм; m_m - параметр. В табл. приведены значения параметров $m_{жc}$, n и m_m для некоторых метеорологических станций Восточного Казахстана.

Таблица
Значения параметров $m_{жc}$, n и m_m

Метеостанция	z , км	$m_{жc}$	n	m_m
Усть-Каменогорск	0,28	0,65	0,79	1,62
Шемонаиха	0,33	0,49	0,72	1,99
Лениногорск	0,81	0,43	0,76	1,51

Следует отметить, что при моделировании снегозапасов и поступлении воды на поверхность бассейна в условиях ограниченной информации часто возникает необходимость в использовании наблюдений метео-

рологических станций и постов, расположенных в аномальных условиях, например, в замыкающих горных котловинах или за пределами рассматриваемого бассейна. В этом случае значения указанных метеорологических элементов могут быть определены с помощью следующих выражений:

$$\bar{\theta} = a_{\theta}\bar{\theta}^* + b_{\theta} \quad (24)$$

$$e = a_e e^* + b_e, \quad (25)$$

$$x_{jc} = a_{jc} x_{jc}^* + b_{jc}, \quad (26)$$

$$x_m = a_m x_m^* + b_m, \quad (27)$$

где $\bar{\theta}^*$, e^* , x_{jc}^* , x_m^* - величины, соответственно среднесуточных значений температуры и влажности воздуха, жидких и твердых осадков, измеренных в аномальных условиях; a_{θ} , a_e , a_{jc} , a_m , b_{θ} , b_e , b_{jc} , b_m - параметры, характеризующие репрезентативность наблюдений рассматриваемых метеорологических элементов по отношению к рассматриваемому бассейну.

Параметры, характеризующие репрезентативность наблюдений, определяются с помощью графиков связи значений метеоэлементов, измеренных на метеорологической станции и в рассматриваемом бассейне. Для этого в первую очередь необходимо использовать материалы кратковременных метеорологических наблюдений учреждений Гидрометслужбы и проекционно-изыскательских организаций. В ряде случаев с целью получения указанных материалов следует организовать параллельные наблюдения в течение 1 - 3 лет. Для организации таких кратковременных наблюдений могут быть использованы автоматические радиометеорологические станции.

В качестве примера рассмотрим изменение атмосферных осадков с высотой местности в центральной части северного склона Заилийского Алатау. На рис.3 и 4 приведены зависимости исправленных осадков за отдельные месяцы и кварталы, а также за холодный (ноябрь - март) и теплый (апрель - октябрь) периоды года, от высоты местности по метеорологическим станциям Каменское плато (1350 м), Селестоковая станция (1712 м), Усть-Горельник (2272 м) и Мынжилки (3017 м).

Сведения о величине исправленных осадков по указанным метеостанциям приведены в Справочнике по климату СССР [17]. Кроме этого для построения зависимостей осадков от высоты местности были использованы

после введения поправок и приведения к норме данные наблюдений Сектора географии АН Казахской ССР в пункте Туюксу I (3450 м) за 1972 – 1984 гг.

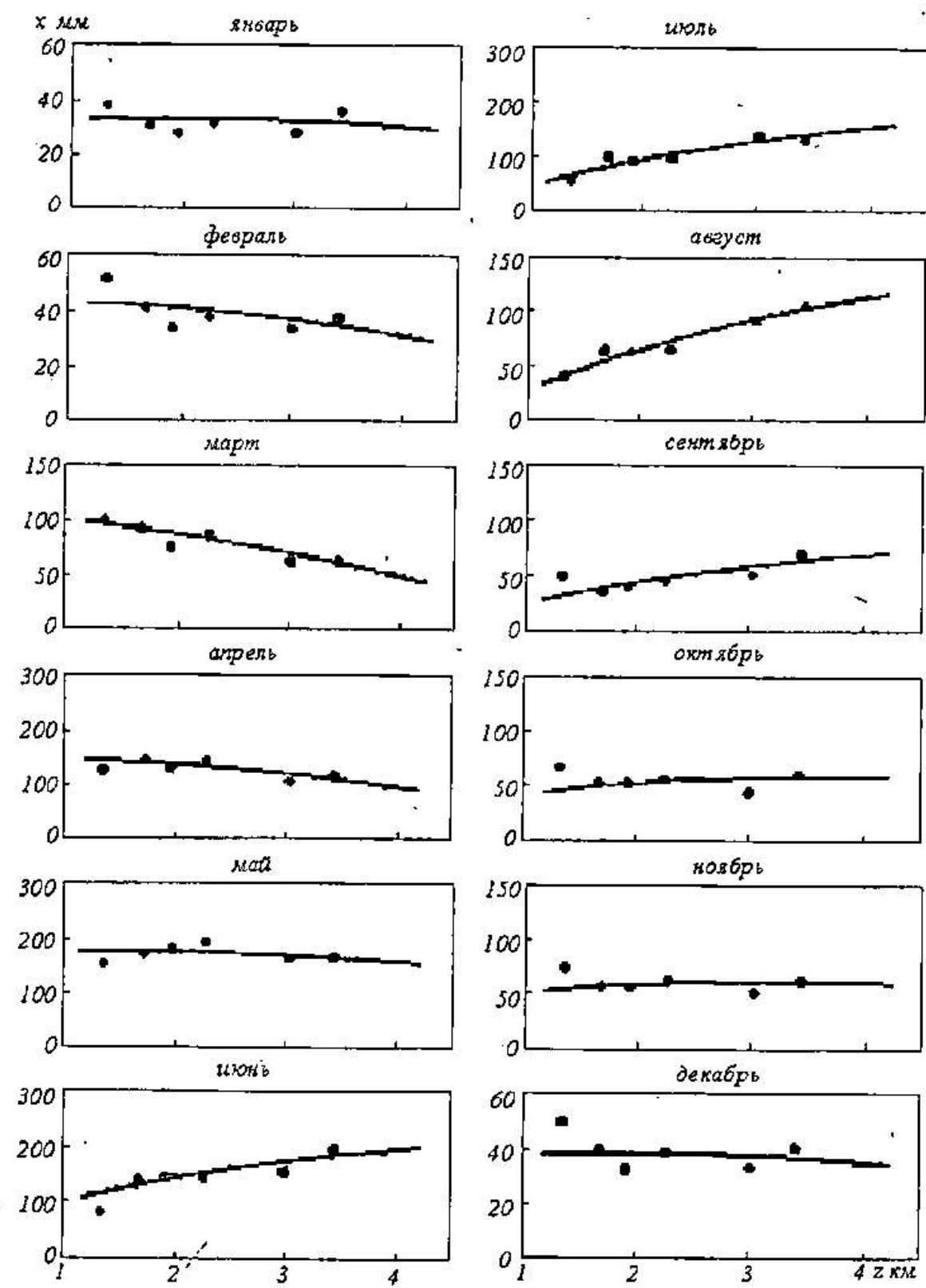


Рис. 3. Зависимость средних многолетних осадков за отдельные месяцы от высоты местности для горных бассейнов центральной части северного склона Заилийского Алатау.

Исследования И.С. Соседова [15] показали, что в годовом ходе осадков низкогорной зоны северного склона Заилийского Алатау наблюдаются два минимума - зимний и летний и два максимума - весенний (высокий) и осенний (низкий). Им также установлено, что с высотой местности наблюдается увеличение весенне-летних осадков, перемещение весеннего максимума на более поздние сроки и исчезновение летнего минимума; количество зимних осадков с высотой практически не увеличивается из-за низкого положения уровня конденсации.

Характеристики внутригодового распределения осадков, приведенные на рис.3, 4 и 5, показывают, что в низкогорной зоне северного склона Заилийского Алатау минимумы осадков наблюдаются в январе и августе-сентябре, а максимумы - в мае и октябре-ноябре. С увеличением высоты местности величина и внутригодовое распределение осадков существенно изменяются; весенне-летние осадки увеличиваются, их максимумы перемещаются с мая на июнь; относительные значения осадков за апрель-май уменьшаются, а за июнь-сентябрь увеличиваются, что приводит к исчезновению летнего минимума и осеннего максимума.

Анализ изменения осадков за отдельные кварталы (рис.4) показывает, что с высотой местности наблюдается уменьшение их значений в первом квартале и увеличение в третьем квартале. Во втором и четвертом кварталах изменение осадков с повышением местности не наблюдается. В холодный период (ноябрь - март) отчетливо прослеживается тенденция к уменьшению осадков, а в теплый период (апрель - октябрь) - к их увеличению с ростом высоты местности.

Относительные значения осадков с высотой местности (рис.5) уменьшаются в первом и втором кварталах и существенно увеличиваются в третьем квартале.

Относительная величина осадков за четвертый квартал не имеет четко выраженной тенденции к изменению с высотой местности. В холодный период (XI - III) наблюдается уменьшение, а теплый - увеличение относительной величины осадков с повышением местности. Как известно [2, 3], при моделировании осадков в горных бассейнах, их изменение можно рассматривать только от высоты местности и времени. Нелинейный характер зависимостей средних многолетних месячных осадков от высоты местности указывает на возможность их описания с помощью функции (13).

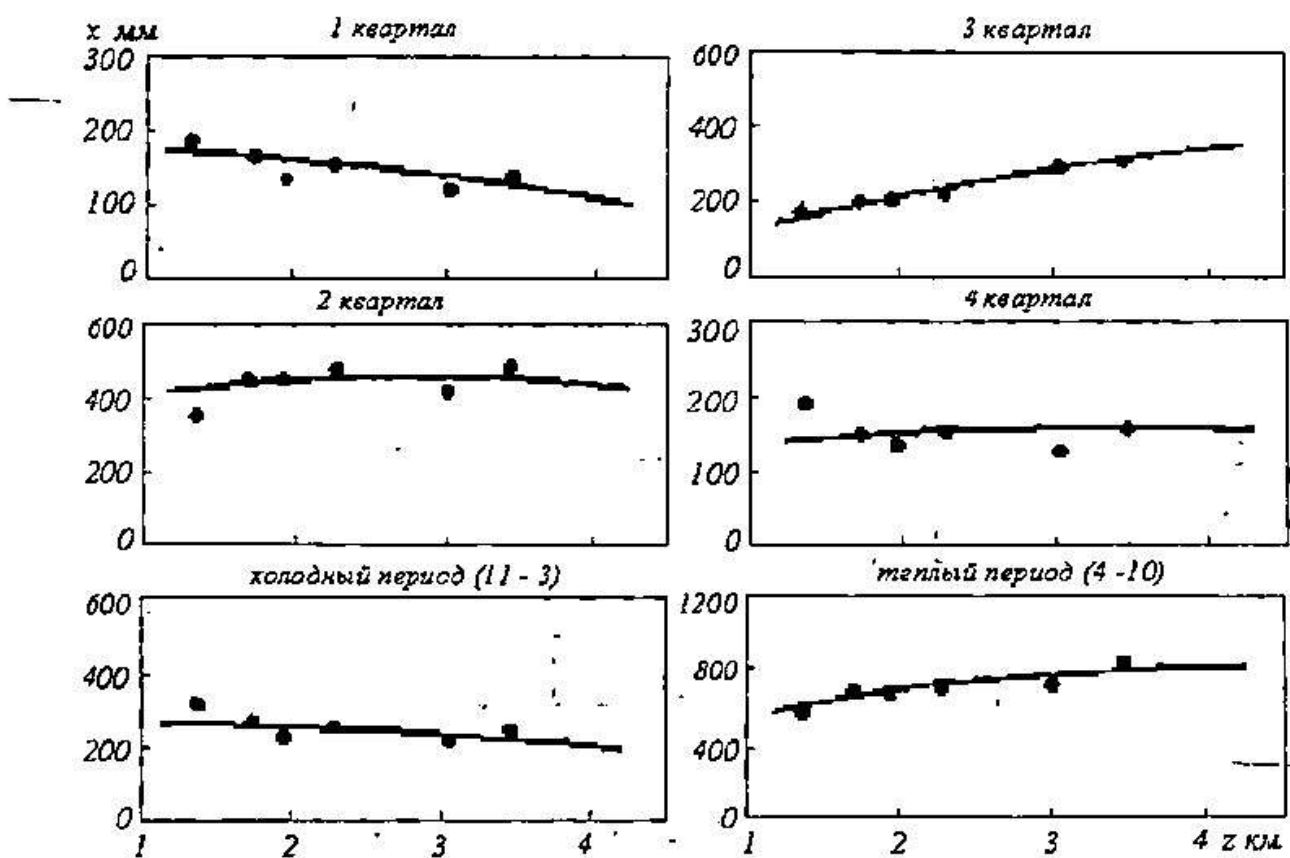


Рис. 4. Зависимость средних многолетних осадков за отдельные кварталы, холодный (ноябрь – март) и теплый (апрель – октябрь) периоды от высоты местности для горных бассейнов центральной части северного склона Заилийского Алатау.

Изменение параметров k_2 и k_3 этой зависимости при $z = 2\text{км}$ внутри года для центральной части северного склона Заилийского Алатау показано на рис. 6. Зависимости, характеризующие годовой ход параметров k_2 и k_3 , имеют следующее аналитическое выражение:

$$k_2 = 0,14 + 0,34 \cos \frac{2\pi}{365} (t - 235), \quad (28)$$

$$k_3 = -0,039 + 0,019 \cos \frac{2\pi}{365} (t - 80). \quad (29)$$

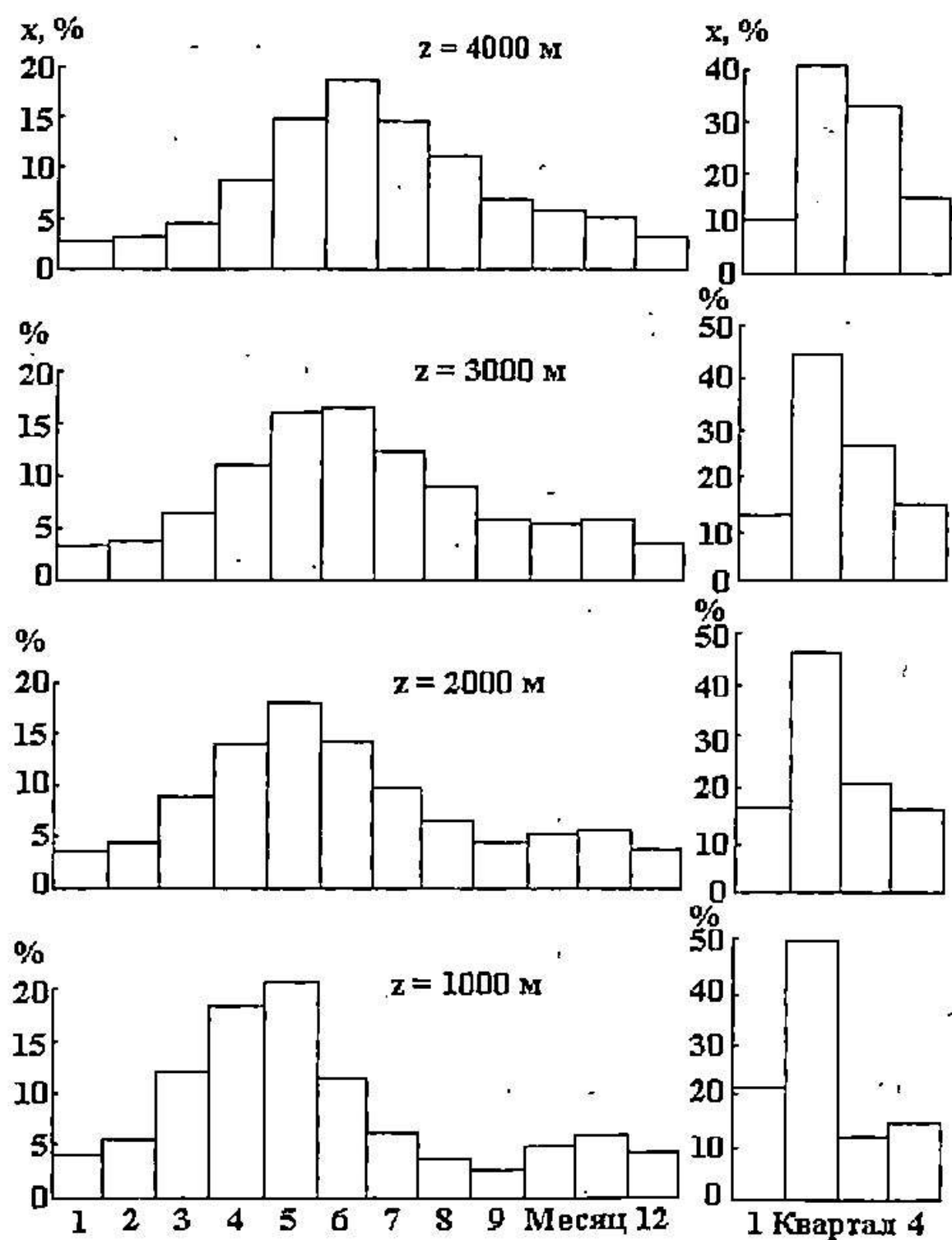


Рис. 5. Внутригодовое распределение средних многолетних месячных осадков по отношению к их годовым значениям (%) в центральной части северного склона Заилийского Алатау.

Данные, приведенные на рис.6, показывают, что минимальные значения параметра k_2 наблюдаются в феврале-апреле, а максимальные - в июле-сентябре. Годовой ход параметра k_3 имеет примерно противоположный характер: максимальные значения наблюдаются в феврале-

апреле, а минимальные - в сентябре-октябре. Такое распределение значений параметров k_2 и k_3 обусловлено внутригодовым изменением высотного положения максимума осадков в горах.

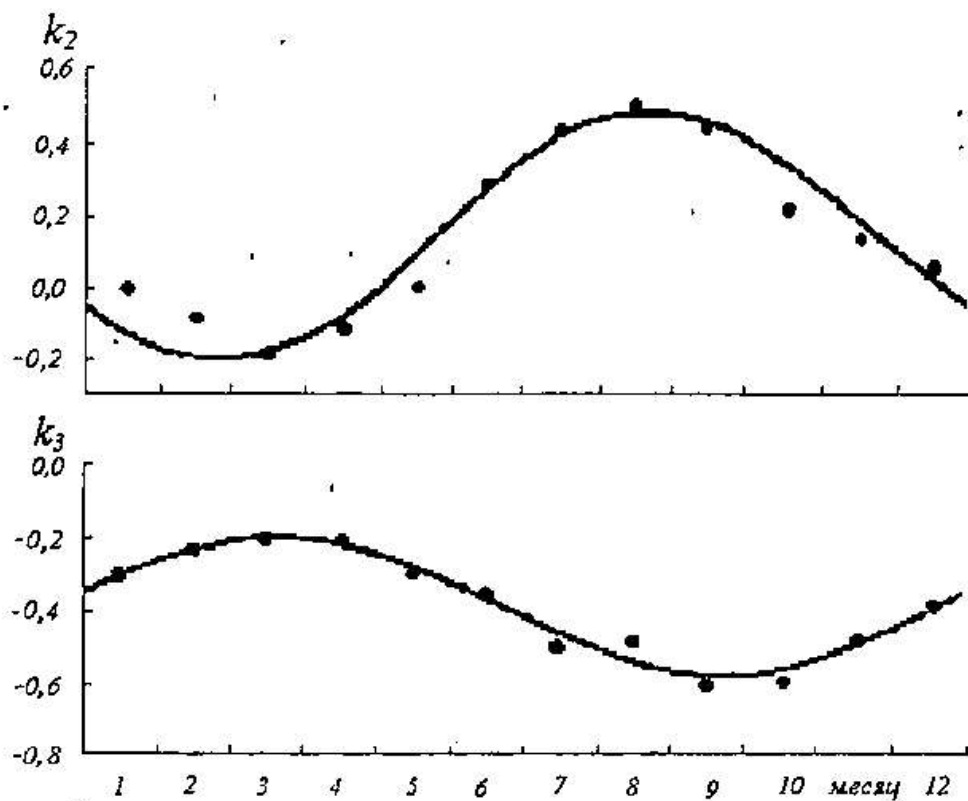


Рис. 6. Внутригодовое изменение параметров k_2 и k_3 в горных бассейнах центральной части Заилийского Алатау.

При низком положении максимума осадков в горах, наблюдающемся в холодную часть года, их величина с высотой местности практически не изменяется или имеет наибольшую тенденцию к уменьшению, близкую к линейной. Такое изменение осадков с высотой местности соответствует небольшим отрицательным значениям параметров k_2 и k_3 .

При высоком положении максимума осадков в теплый период года, наблюдается существенно нелинейный рост их величин с высотой местности. Такое изменение осадков с высотой местности соответствует высоким положительным значениям параметра k_2 и низким отрицательным значениям параметра k_3 .

Полученные результаты хорошо согласуются с выводами И.С. Соседова о закономерностях изменения годового хода осадков в горных бассейнах. Они показывают, что внутригодовое распределение осадков низкогорных зон северного склона Заилийского Алатау, характеризующееся

зимним и летним минимумами и весенним (высоким) и осенним (низким) максимумами, существенно изменяются с высотой местности за счет перемещения весеннего максимума на более позднее время года. В результате во внутригодовом ходе осадков, встречающихся в высокогорных зонах, наблюдается всего один зимний минимум в январе и один летний максимум в июне. Автором показано, что с увеличением высоты нулевой изотермы, а следовательно и уровня конденсации, наблюдается перемещение максимума поля осадков из низкогорных в высокогорные зоны речных бассейнов [7]. Указанное явление и обуславливает изменение внутригодового распределения месячных осадков с высотой местности. Ход параметров k_2 и k_3 также определяется изменением внутри года высотного положения нулевой изотермы, а, следовательно, и уровня конденсации в горах.

В заключение следует отметить, что предлагаемые модели могут быть успешно использованы для расчета температуры воздуха и атмосферных осадков в горных бассейнах по суточным интервалам времени. Это позволит использовать их для описания процессов снегонакопления, снеготаяния и формирования стока горных рек.

СПИСОК ЛИТЕРАТУРЫ

1. Аэроклиматический справочник СССР. Основные аэроклиматические характеристики. Казахская ССР. - М.: Гидрометеоиздат, 1957. - Вып. 5. – 335 с.
2. Боровикова Л.Н. и др. Математическое моделирование процесса стока горных рек / Боровикова Л.Н., Денисов Ю.М., Трофимова Е.Б., Шенцис И.Л. - Л.: Гидрометеоиздат, 1972. – 151 с.
3. Боровикова Л.Н., Денисов Ю.М. Модель поступления воды на поверхность горного бассейна и некоторые результаты ее проверки на бассейнах рек Западного Тянь-Шаня // Труды САНИИ. - 1970. – Вып. 52(67). – С. 3 – 20.
4. Браславский А.П., Чистяева С.П. Определение исправленных атмосферных осадков по методике ГГО // Труды КазНИИ. - 1979. – Вып. 65. - С. 3 – 94.
5. Глазырин Г.Е.. Фазовое состояние осадков в горах в зависимости от приземной температуры воздуха // Метеорология и гидрология. - 1970. - № 1. - С. 30 – 34.

6. Глазырин Г.Е. Распределение и режим горных ледников. – Л.: Гидрометеоиздат, 1985. – 181с. ,
7. Голубцов В.В. О распределении вероятностей выпадения максимальных осадков по высотным зонам при различном положении нулевой изотермы // Труды САРНИГМИ. – 1972. - Вып. 1(82). - С. 70 – 76.
8. Голубцов В.В. Оценка точности учета жидкого осадка осадкометром Третьякова // Труды ГГИ. - 1962. - Вып. 95. – С. 15 – 24.
9. Денисов Ю.М. Схема расчета гидрографа стока горных рек. - М.: Гидрометеоиздат, 1965. – 102 с.
10. Литовченко А.Ф. Экспериментальное изучение элементов водного баланса горных водосборов. - Киев: Высшая школа. - 1986. – 186 с.
11. Мансурова Е.П., Соседов И.С. Опыт оценки величины атмосферных осадков в горах Заилийского Алатау // Сб. Гидрофизические исследования в горных районах Казахстана. - Алма-Ата, 1969. - С. 3 – 18.
12. Ревякин В.С., Галахов В.П. Вещественный баланс ледников Алтая // Сб. Вопросы горной гидрологии. - Алма-Ата, 1977. - С. 116 – 130.
13. Семенов В.А., Охинченко А.И. К вопросу учета твердых осадков // Труды КазНИГМИ. – 1961. - Вып. 16. - С. 87 – 92.
14. Соседов И. С. и др. Водный баланс и водные ресурсы северного склона Джунгарского Алатау / Соседов И.С., Филатова Л.Н., Киктенко О.В. и др. / Алма-Ата: Наука, 1984. – 152 с.
15. Соседов И.С. Исследование баланса снеговой влаги на горных склонах в Заилийском Алатау. - Алма-Ата: Наука, 1967. – 108 с.
16. Соседов И.С., Филатова Л.Н., Киктенко О.В. и др. Температурный и водный режим горных склонов. - Алма-Ата: Наука, 1983. – 92 с.
17. Справочник по климату СССР. Влажность воздуха, атмосферные осадки, снежный покров. - Л.: Гидрометеоиздат, 1968. – Вып. 18, ч. 4. – 550 с.
18. Справочник по климату СССР. Температура воздуха и почвы. – Л.: Гидрометеоиздат, 1966. - Вып. 18, ч. 2. – 656 с.
19. Струзер Л.Р. Основные недостатки и пути улучшения методов измерения атмосферных осадков // Труды ГГО. - 1965. - Вып. 175. - С. 120 – 133.
20. Судаков П.А. К вопросу об учете атмосферных осадков в высокогорных районах Заилийского Алатау // Сб. Гляциологические исследования в Казахстане. - 1965. - Вып. 5. - С. 34 – 44.

21. Хотимский В. Выравнивание статистических рядов по методу наименьших квадратов (способ Чебышева). - М.: Госстатиздат, 1959. – 87 с.
22. Черкасов П.А., Ерисковская Л.А. Фазовый состав атмосферных осадков ледниковой зоны Джунгарского Алатау в теплый период года // Материалы гляциологических исследований. – 1996. – Вып. 80. – С. 154 – 157.
23. Черкасов П.А., Ермекбаев Т. Вертикальный градиент температуры воздуха на северном склоне Джунгарского Алатау в абляционный период // Сб. Снежные лавины и ледники Казахстана. - Алма-Ата, 1977. – С. 122 – 133.
24. Шувахин Е.А. Об ошибках измерения жидких осадков в условиях Казахстана // Труды ГГО. - 1966. - Вып. 195. - С. 183 – 189.

Казахский научно-исследовательский институт
мониторинга окружающей среды и климата

АУА ТЕМПЕРАТУРАСЫНЫң ӨЗГЕРУІ МЕН АТМОСФЕРАЛЫҚ ЖАУЫН-ШАШЫНДАРДЫ ЖЕРДІҢ БИКТІГІНЕ ҚАРАЙ ҮЛГІЛЕУ

Геогр. ғылымд. канд. В.В. Голубцов

Ауа температурасының өзгеруі мен атмосфералық жауыншашындарды жердің биктігіне қарай үлгілеу мәселелері қарастырылған. Караптырылған отырган Батыс үшін математикалық орнектер мен оларды бағалау өлимелдері келтірілген. Ұсынылған отырган үлгілерді ауа температурасы мен атмосфералық жауын-шашындарды тәуліктік уақыт бөліктері бойынша есептелеу үшін пайдалануга болады.